

СООБЩЕНИЯ
ОБЪЕДИНЕННОГО
ИНСТИТУТА
ЯДЕРНЫХ
ИССЛЕДОВАНИЙ

ДУБНА



С323

21С-696

26/2-75

P11 - 8701

Е.П.Жидков, И.В.Пузынин, Р.М.Ямалеев

1826/2-75

ВЫЧИСЛЕНИЕ КВАЗИСТАЦИОНАРНЫХ СОСТОЯНИЙ
В РАМКАХ ФАЗОВЫХ УРАВНЕНИЙ
В R -МАТРИЧНОЙ ТЕОРИИ РАССЕЯНИЯ

1975

P11 - 8701

Е.П.Жидков, И.В.Пузынин, Р.М.Амалеев*

**ВЫЧИСЛЕНИЕ КВАЗИСТАЦИОНАРНЫХ СОСТОЯНИЙ
В РАМКАХ ФАЗОВЫХ УРАВНЕНИЙ
В R -МАТРИЧНОЙ ТЕОРИИ РАССЕЯНИЯ**

* Лаборатория теоретической физики

Задаче о вычислении квазистационарных состояний в рамках R -матричной теории можно дать следующую формулировку /1/.

Допустим, что при r , больших определенного расстояния ℓ , взаимодействие отсутствует:

$$V = V(r) \theta(\ell - r)$$

$$\theta(r) = \begin{cases} 1 & r \geq 0 \\ 0 & r < 0 \end{cases} .$$

Квазистационарные состояния будем определять как решения уравнения Шредингера

$$\left[\frac{d^2}{dr^2} + \frac{2M}{\hbar^2} (E_\lambda - V) \right] w_\lambda = 0 \quad (0 \leq r \leq \ell) \quad (I)$$

с граничными условиями

$$w_\lambda(0) = 0 \quad (2a)$$

$$\left(\frac{dw_\lambda}{w_\lambda dr} \right)_{r=\ell} = B . \quad (2b)$$

Для численного решения уравнения (I) можно попытаться применить метод численного решения задач на собственные значения, развитый для стационарных задач /2/. Однако такой подход наталкивается на некоторые трудности.

Граничное условие (2б) содержит сингулярные точки при определенных значениях κ и ν . Это обстоятельство существенно затрудняет применение условия (2б) для численных расчетов, в частности, при больших осцилляциях функций $w_\lambda(\kappa, \nu)$.

Вторая трудность связана с выбором корректного условия нормировки функции $w_\lambda(\kappa, \nu)$.

В настоящей работе мы предлагаем довольно простой метод вычисления квазистационарных уровней энергии и волновых функций, исходя из фазового уравнения для R -матрицы. Этот подход близок по своей идее к одному из методов решения обратной задачи в рамках фазовых уравнений /3/. Однако вычисление квазистационарных состояний указанным методом, в отличие от обратной задачи, приводит к корректной задаче. С другой стороны, при этом удалось избежать вышеуказанных проблем нормировки $w_\lambda(\kappa, \nu)$ и сингулярности граничного условия (2б).

Фазовое уравнение для R -матрицы

Решение уравнения Шредингера

$$\left[\frac{d^2}{dx^2} + \frac{2M}{\hbar^2} (E - V) \right] u = 0, \quad u(0) = 0,$$

можно разложить в ряд по собственным функциям $w_\lambda(\nu)$

$$u = \sum_\lambda a_\lambda w_\lambda(\nu), \quad (0 \leq \nu \leq \delta) \quad (3)$$

причем коэффициент разложения будет иметь вид

$$a_\lambda = \frac{\hbar^2}{2M} \left(\frac{du}{dx} \right)_{x=\delta} \frac{w_\lambda(\delta)}{E_\lambda - E}. \quad (4)$$

Тогда формулу (3) можно преобразовать:

$$U(\kappa, \tau) = \left(\frac{\hbar^2}{2M} \right)^{\frac{1}{2}} \left(\frac{dU}{d\tau} \right)_{\tau=0} \sum_{\lambda} \frac{\gamma_{\lambda} \cdot w_{\lambda}(\tau)}{E_{\lambda} - E}, \quad (0 \leq \tau \leq \theta) \quad (5)$$

Здесь
$$\gamma_{\lambda} = \left(\frac{\hbar^2}{2M} \right)^{\frac{1}{2}} w_{\lambda}(\theta). \quad (6)$$

Во внешней области функцию $U(\kappa, \tau)$ в весьма общем случае можно представить в виде

$$U(\kappa, \tau) = \left(\frac{dU}{d\tau} \right)_{\tau=0} \frac{1}{\kappa} \left[\text{Sin} \kappa(\tau-\theta) + R \kappa \text{Cos} \kappa(\tau-\theta) \right], \quad (7)$$

где
$$R = \frac{1}{\left(\frac{dU}{d\tau} \right)_{\tau=0}} = \sum_{\lambda} \frac{\gamma_{\lambda}^2}{E_{\lambda} - E}. \quad (8)$$

Исходя из формулы (7), так же как и для ξ -матрицы (см., например, /4/), можно получить фазовые уравнения для R -матрицы.

С этой целью перепишем формулу (7) так, чтобы она была справедливой при любом τ :

$$U(\kappa, \tau) = A(\tau) \left[\text{Sin} \kappa(\tau-\theta) + R(\tau) \kappa \text{Cos} \kappa(\tau-\theta) \right], \quad (0 \leq \tau < \infty), \quad (9)$$

где функции $A(\tau)$ и $R(\tau)$, соответственно, удовлетворяют уравнениям:

$$\begin{aligned} \frac{d}{d\tau} [R(\tau) \kappa] &= -\frac{V(\tau)}{\kappa} \left[\text{Sin} \kappa(\tau-\theta) + R(\tau) \kappa \text{Cos} \kappa(\tau-\theta) \right]^2 \\ \frac{d}{d\tau} A(\tau) &= -\frac{V(\tau)}{\kappa} A(\tau) \left[\text{Sin} \kappa(\tau-\theta) \text{Cos} \delta(\tau) + \text{Cos} \kappa(\tau-\theta) \text{Sin} \delta(\tau) \right] \\ &\quad \left[\text{Sin} \delta(\tau) \text{Sin} \kappa(\tau-\theta) - \text{Cos} \delta(\tau) \text{Cos} \kappa(\tau-\theta) \right], \end{aligned} \quad (10)$$

а
$$\delta(\tau) = \arctg(R\kappa).$$

В более общем случае $L \neq 0$ достаточно произвести замену

$$\sin k(\tau-\theta) \rightarrow \mathcal{F}(\tau), \quad \cos k(\tau-\theta) \rightarrow \mathcal{G}(\tau), \quad (11)$$

где

$$\begin{aligned} \mathcal{F}(\tau) &= \left[\frac{dF_e(k\tau)}{d(k\tau)} \right]_e G_p(k\tau) - \left[\frac{dG_p(k\tau)}{d(k\tau)} \right]_e F_e(k\tau) \\ \mathcal{G}(\tau) &= \left[G_p(k\theta) F_e(k\tau) - F_e(k\theta) G_p(k\tau) \right], \end{aligned} \quad (12)$$

а функции $F_e(k\tau)$ и $G_p(k\tau)$ - регулярное и нерегулярное (при $\tau=0$) решения уравнения свободного движения

$$\left[\frac{d^2}{d\tau^2} + k^2 - \frac{\ell(\ell+1)}{\tau^2} \right] V_e(k\tau) = 0. \quad (13)$$

При резонансных значениях энергии E_λ

$$R(\theta, E_\lambda) = \infty.$$

Это условие мы и будем применять для определения квазистационарных состояний. При этом нелинейное функциональное уравнение для определения $\omega_\lambda^2(k\tau)$ и E_λ будет иметь вид

$$k \cdot R(0, k) = \frac{F_e(k\theta)}{\left[\frac{d}{d(k\tau)} F_e(k\tau) \right]_{\tau=\theta}} \quad (14)$$

$$\frac{d}{d\tau} [R(\tau, k) \cdot k] = -\frac{V}{k} \left[\mathcal{F}(\tau) + R(\tau, k) \cdot k \mathcal{G}(\tau) \right]^2$$

$$R(\theta, k) = \infty.$$

Для удобства вычислений произведем замену

$$t g \delta_e(\tau, k) = R(\tau) \cdot k.$$

Тогда окончательный вид уравнения для определения квазистационарных состояний запишется так:

$$\delta_e(0, \kappa) = \operatorname{arctg} \left\{ \frac{F_e(\kappa \delta)}{\left[\frac{d}{d(\kappa \delta)} F_e(\kappa \delta) \right]_{\kappa \delta = \delta}} \right\}$$

$$\frac{d}{d\tau} \delta_e(\tau, \kappa) = - \frac{V(\tau)}{\kappa} \left[\mathcal{J}_p(\tau) \cos \delta_e + \mathcal{L}_p(\tau) \sin \delta_e \right]^2 \quad (15)$$

$$\delta_e(\theta, \kappa) = \left(n + \frac{1}{2} \right) \pi.$$

Решив уравнения (15), мы можем определить γ_p и w_p согласно формулам (6) и (9).

Метод решения

Для решения уравнений (15) применим непрерывный аналог метода Ньютона [3]. Согласно этому подходу, вводится непрерывный параметр t ($0 \leq t < \infty$), от которого зависят искомые величины в уравнении (15) $\delta \rightarrow \delta(t)$, $\kappa \rightarrow \kappa(t)$, а задача (15) заменяется эволюционным уравнением

$$\begin{aligned} \mathcal{V}_p(0, \kappa) - \frac{d}{d\kappa} \operatorname{arctg} \left\{ \frac{F_e(\kappa \delta)}{\left[\frac{d}{d(\kappa \delta)} F_e(\kappa \delta) \right]_{\kappa \delta = \delta}} \right\} \cdot \mu = \\ = - \left\{ \delta_e(0, \kappa) - \operatorname{arctg} \left[\frac{F_e(\kappa \delta)}{\left[\frac{d}{d(\kappa \delta)} F_e(\kappa \delta) \right]_{\kappa \delta = \delta}} \right] \right\} \end{aligned}$$

$$\begin{aligned} \frac{d\mathcal{V}_p(\tau, \kappa)}{d\tau} + V(\tau) \frac{d}{d\kappa} \left\{ \frac{1}{\kappa} \left[\mathcal{J}_p(\tau) \cos \delta_e + \mathcal{L}_p(\tau) \sin \delta_e \right]^2 \right\} \cdot \mu = \\ - \left\{ \frac{d}{d\tau} \delta_e(\tau, \kappa) + \frac{V(\tau)}{\kappa} \left[\mathcal{J}_p(\tau) \cos \delta_e + \mathcal{L}_p(\tau) \sin \delta_e \right]^2 \right\} \end{aligned} \quad (16)$$

$$\mathcal{V}_p(\theta, \kappa) = - \left(\delta_e(\theta, \kappa) - \left(n + \frac{1}{2} \right) \pi \right),$$

где

$$\mathcal{V}_i^{\mu}(\tau, \kappa(t)) = \frac{d}{dt} \delta_e(\tau, \kappa(t)), \quad \mu = \frac{d}{dt} \kappa. \quad (17)$$

Дискретизация эволюционной задачи

Дискретную аппроксимацию эволюционного уравнения (16) по параметру t можно реализовать на основе метода Эйлера. Полуось $0 \leq t < \infty$ разбивается узловыми точками t_i ($i = 0, 1, 2, \dots$) с переменным шагом τ_i .

$$t_{i+1} = \tau_i + t_i, \quad t_0 = 0.$$

В дальнейшем, для краткости, в обозначении величин, зависящих от t , будем использовать индекс i при $t = t_i$, опуская запись самого аргумента.

Выражения (17) заменим разностными аналогами

$$\begin{aligned} K_{i+1} &= K_i + \tau_i \mu_i, \\ \delta_{i+1} &= \delta_i + \tau_i \mathcal{V}_i. \end{aligned} \quad (18a)$$

Схему приближенного решения эволюционного уравнения (16) для задачи (15) методом Эйлера можно описать следующим образом. Предположим, что при $t = t_i$ значения K_i и $\delta_i(\tau, \kappa)$ известны. Тогда мы приходим к рассмотрению однопараметрического семейства уравнений с параметрами μ_i относительно функций $\mathcal{V}_i^{\mu}(\tau, \kappa)$, в которое транслируется исходная задача (15). Функцию $\mathcal{V}_i^{\mu}(\tau, \kappa)$ можно представить в виде

$$\mathcal{V}_i^{\mu}(\tau, \kappa) = \mathcal{V}_i^{(d)}(\tau, \kappa) + \mu_i \mathcal{V}_i^{(p)}(\tau, \kappa), \quad (18b)$$

где функции $\mathcal{V}_i^{(1)}(\tau, \kappa)$ и $\mathcal{V}_i^{(2)}(\tau, \kappa)$ являются решениями задачи

$$\mathcal{V}_i^{(1)}(0, \kappa) = - \left\{ \delta_i(0, \kappa) - \frac{d}{d\kappa} \operatorname{arctg} \frac{F_i(\kappa b)}{\left[\frac{d}{d(\kappa)} F_i(\kappa \tau) \right]_{\tau=b}} \right\} \quad (19a)$$

$$\frac{d}{d\kappa} \mathcal{V}_i^{(1)}(\tau, \kappa) + \frac{2V(\tau)}{\kappa} \left[\mathcal{J}_p(\tau) \cos \delta_\tau + \mathcal{G}_p(\tau) \sin \delta_\tau \right] \left[-\mathcal{J}_p(\tau) \sin \delta_\tau + \mathcal{G}_p(\tau) \cos \delta_\tau \right] \mathcal{V}_i^{(1)}(\tau, \kappa) =$$

$$= - \left\{ \frac{d}{d\tau} \delta_i(\tau, \kappa) + \frac{V(\tau)}{\kappa} \left[\mathcal{J}_p(\tau) \cos \delta_\tau + \mathcal{G}_p(\tau) \sin \delta_\tau \right]^2 \right\}$$

$$\mathcal{V}_i^{(2)}(0, \kappa) = \frac{d}{d\kappa} \operatorname{arctg} \left\{ \frac{F_i(\kappa b)}{\left[\frac{d}{d(\kappa)} F_i(\kappa \tau) \right]_{\tau=b}} \right\} \quad (19b)$$

$$\frac{d}{d\kappa} \mathcal{V}_i^{(2)}(\tau, \kappa) - \frac{V(\tau)}{\kappa} \left[\mathcal{J}_p(\tau) \cos \delta_\tau + \mathcal{G}_p(\tau) \sin \delta_\tau \right]^2 + \frac{2V(\tau)}{\kappa} \left[\mathcal{J}_p(\tau) \cos \delta_\tau + \mathcal{G}_p(\tau) \sin \delta_\tau \right] \times$$

$$\times \left[-\mathcal{J}_p(\tau) \sin \delta_\tau + \mathcal{G}_p(\tau) \cos \delta_\tau \right] \mathcal{V}_i^{(2)}(\tau, \kappa) = 0$$

$$\mathcal{V}_i^{(1)}(b, \kappa) + \mu_i \mathcal{V}_i^{(2)}(b, \kappa) = - \left(\delta_i(b, \kappa) - \left(n + \frac{1}{2} \right) \pi \right). \quad (20)$$

Решив уравнения (19a - 19b) и определив из условия (20) μ_i , можно определить функцию $\mathcal{V}_i(\tau, \kappa)$. Следовательно, при заданных κ_i и $\delta_i(\tau, \kappa)$, функция $\mathcal{V}_i(\tau, \kappa)$ полностью определена соотношениями (18b) и (19a-19b). Далее, пользуясь формулой (18a), можно вычислить при $t_i = t_{i+1}$ значения κ_{i+1} и $\delta_{i+1}(\tau, \kappa)$. Поскольку начальные значения κ_0 и $\delta_0(\tau, \kappa)$ при $t = t_0$ известны, процесс вычисления κ_i , $\delta_i(\tau, \kappa_i)$ с помощью формулы (18a)-(19b) полностью определен для всех i .

Выбор начальных собственных функций
и энергий

При решении нелинейных задач физики с помощью непрерывного аналога метода Ньютона для построения пробных функций мы часто можем использовать уже имеющуюся информацию о приближенных решениях задачи. Подобную информацию можно получить различными способами в зависимости от содержания и постановки конкретной задачи. В данном случае для начального определения квазистационарных уровней энергии и волновых функций имеется несколько альтернативных подходов. Однако мы ограничимся рассмотрением одного, наиболее простого и, вместе с тем, эффективного способа нахождения начальных функций для нашей итерационной процедуры.

Суть метода заключается в приближенном определении фазы в зависимости от волнового числа κ и потенциала $V(x)$ на основе известных решений для потенциала прямоугольной формы. Если, как показано на рис. I, потенциал разбить на прямоугольники с площадями, равными $V(x_i)h_i$, то ясно, что на каждом из таких участков волновая функция приобретает, соответственно, фазу $\delta_i(\kappa) = \sqrt{\kappa^2 - V(x_i)} h_i$.

Тогда суммарная фаза примет вид

$$\delta_{\Sigma} = \sum_i \sqrt{\kappa^2 - V(x_i)} h_i$$

или в пределе $h_i \rightarrow 0$ получим

$$\delta(\kappa) = \int_0^l \sqrt{\kappa^2 - V(x)} dx. \quad (21)$$

В случае произвольного L имеем:

$$\delta_e(\kappa) = \alpha \operatorname{arctg} \left(\frac{F_e(P)}{\frac{d}{dP} F_e(P)} \right), \quad (22)$$

где $P = \int_0^{\delta} \sqrt{\kappa^2 - V(x)} dx$.

Соответствие между приближенными значениями κ_λ , определенными из (21)–(22), и точными, определенными из уравнения (15), приведены в Табл. I.

Обсуждение результатов вычислений

При стремлении параметра диффузности α к нулю потенциал Саксона-Вудса

$$V(x) = \frac{V_0}{\left[1 + \exp\left\{ \frac{(x-R_0)}{\alpha} \right\} \right]}$$

постепенно приближается к прямоугольной форме с шириной R_0 и глубиной V_0 . В таблице 2 сравниваются уровни энергии прямоугольной ямы и потенциала Саксона-Вудса при $\alpha = 0.00001$. Здесь же исследуется зависимость расщепления уровней от параметра δ . Из данных таблицы 2 видно, что, как для прямоугольной ямы, так и для ямы с диффузной границей, расположения уровней сильно зависит от параметра δ . Это означает, что в реальном случае при описании экспериментальных данных в рамках формализма R -матрицы расположение уровней энергии квазистационарных состояний несет в себе определенную информацию о радиусах взаимодействия ядерных систем.

Таблица I.

n	L = 0		L = 1	
	Точные K_λ	Приближенные K_λ	Точные K_λ	Приближенные K_λ
1.	0.62709	0.57312	1.61257	1.60531
2.	3.01898	3.01671	3.97923	3.98234
3.	5.16295	5.16203	6.14895	6.14882
4.	7.27786	7.27766	8.27813	8.27765

$$\delta = 1,5 \text{ фм}; V_0 = -30,0; \alpha = 2,0; R_0 = 1,0$$

Таблица 2

n	К _λ для прямоугольной ямы	К _λ для потенциала Саксона-Вудса
	$\delta = 0.475$	
0	3.08544	3.08938
I	9.84910	9.85023
$\delta = 0.525$		
0	2.74530	2.76905
I	8.89665	8.90345
$\delta = 3.0$		
0	0.51223	0.51177
I	1.54097	1.53992
2	2.57345	2.57294
3	3.63286	3.63251
4	4.68708	4.68681
5	5.73879	5.73858
6	6.78915	6.78897
7	7.83868	7.83852
8	8.88766	8.88753

$$V_0 = -30.0; \alpha = 0.00001; R_0 = 0.5 \quad L = 0$$

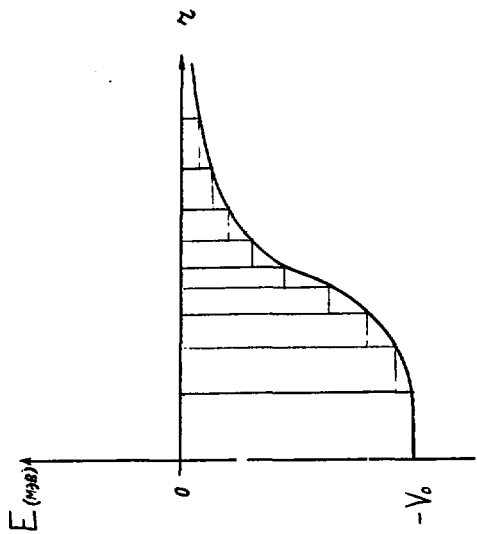


Рис.1

ЛИТЕРАТУРА

1. Г.Брейт. Теория резонансных ядерных реакций. М., ИЛ, 1961.
2. L.I.Ponomarev, I.V.Puzynin, T.P.Puzynina. J.Comput. Phys.13, (1973) 1.
3. Е.П.Жидков, Г.И.Макаренко, И.В.Пузынин. Непрерывный аналог метода Ньютона в нелинейных задачах физики. ЭЧАЯ, 4, 1, 127 (1973).
4. В.В.Бабиков. Метод фазовых функций в квантовой механике. М., Наука, 1968;
Ф.Калоджеро. Метод фазовых функций в теории потенциального рассеяния. М., Мир, 1972.

Рукопись поступила в издательский отдел
17 марта 1975 года.